

## ЛИТЕРАТУРА

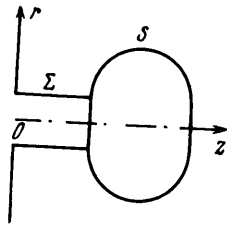
1. Громека И. С. Собрание сочинений. М., Изд-во АН СССР, 1952.
2. Васильев О. Ф. Основы механики винтовых и циркуляционных потоков. М., Госэнергоиздат, 1958.
3. Мизес Р. Математическая теория течений сжимаемой жидкости. М., Изд-во иностр. лит., 1961.
4. Mager A. Approximate solution of isentropic swirling flow through a nozzle. ARS Journal, 1961, vol. 31, No. 8.
5. Наумова И. Н., Шмыглевский Ю. Д. Увеличение тяги сопла вращением потока. Изв. АН СССР, МЖГ, 1967, № 1.
6. Гродзовский Г. Л., Кузнецов Ю. Е. К теории камеры для вихревого охлаждения газового потока. Изв. АН СССР, ОТН, 1954, № 10.
7. Дубинский М. Г. О вращающихся потоках газа. Изв. АН СССР, ОТН, 1954, № 8.

**ЧИСЛЕННЫЙ МЕТОД РЕШЕНИЯ НЕСТАЦИОНАРНЫХ ОСЕСИММЕТРИЧНЫХ  
ЗАДАЧ ГИДРОДИНАМИКИ ИДЕАЛЬНОЙ ЖИДКОСТИ СО СВОБОДНЫМИ  
ПОВЕРХНОСТЯМИ**

Г. А. КОНСТАНТИНОВ, Ю. Л. ЯКИМОВ

(Москва)

Описывается приближенный метод решения задачи о нестационарном осесимметричном потенциальном течении идеальной несжимаемой жидкости со свободной поверхностью. Метод основан на дискретном распределении кольцевых источников на граничных поверхностях, что позволяет свести рассматриваемую задачу к системе обыкновенных дифференциальных уравнений. В основе этого численного метода лежит известный результат, согласно которому любую гармоническую функцию можно представить как потенциал источников, распределенных на границе течения [1, 2]. В работе получено численное решение задачи, в которой свободная поверхность будет поверхностью газового пузыря.



Фиг. 1

1. Рассматривается задача о нахождении поверхности газового пузыря, образующегося на конце круглой трубы, выступающей из бесконечной стенки. Поверхность пузыря существенно нестационарна вследствие разности давлений в трубе и в окружающей жидкости. Жидкость предполагается идеальной, несжимаемой и покоящейся на бесконечности. Предполагается, что ось  $z$  совпадает с осью симметрии течения и с направлением силы тяжести, а также, что бесконечная стенка лежит в плоскости  $z = 0$ . Наличие бесконечной стенки равносильно симметрии течения относительно этой плоскости (Фиг. 1).

Потенциал  $u$  скорости движения жидкости будет функцией цилиндрических координат  $r, z$  и времени  $t$ , где  $r$  — расстояние до оси симметрии. Функция  $u(r, z, t)$  удовлетворяет уравнению Лапласа в цилиндрических координатах для осесимметричного случая

$$\frac{\partial^2 u}{\partial r^2} + \frac{1}{r} \frac{\partial u}{\partial r} + \frac{\partial^2 u}{\partial z^2} = 0 \quad (1.1)$$

и граничным условиям

$$\frac{\partial u}{\partial n} = 0 \quad (1.2)$$

на поверхности трубы  $\Sigma$

$$\frac{\partial u}{\partial t} + \frac{p(t) - p_\infty}{\rho} + \frac{1}{2} v(t)^2 - gz = 0 \quad (1.3)$$

на свободной поверхности  $S$ . Здесь  $p(t)$  — давление в пузыре;  $p_\infty$  — давление в бесконечно удаленной от оси симметрии точке, лежащей в плоскости  $z = 0$ ;  $v(t)$  — величина скорости перемещения поверхности  $S$ ;  $g$  — величина ускорения силы тяжести;  $\rho$  — плотность жидкости.

Для получения дифференциальных уравнений движения свободной поверхности используется условие потенциальности течения

$$\mathbf{v} = \text{grad } u$$

2. Граничные поверхности  $S$  и  $\Sigma$  плоскостями, параллельными плоскости  $z = 0$ , разбиваются на кольца  $S_j$  ( $j = 0, 1, \dots, N$ ), которые покрывают поверхности  $S$  и  $\Sigma$ . На каждой из поверхностей  $S_j$  берется окружность радиуса  $R_j(Z_j)$ , потенциал которой имеет линейную плотность  $Q_j$ . Потенциал  $u(r, z, t)$  в точке  $(R_j, Z_j)$  меридиональной полуплоскости  $zr$  ищется в виде суммы потенциалов, взятых таким образом окружностей с радиусами  $R_i$ , лежащих на кольцах  $S_i$ .

$$u(r, z, t) | R_j, Z_j = - \sum_{i=0}^N R_i(t) Q_i(t) s_i(r, z, t) | R_j, Z_j \quad (2.1)$$

что равносильно приближению поверхностного потенциала простого слоя, являющегося решением уравнения (1.1), конечной суммой по методу прямоугольников. Здесь

$$s_i(r, z, t) | R_j, Z_j = \int_0^{2\pi} \{ [r^2 + R_i^2 - 2rR_i \cos \alpha + (z - Z_i)^2]^{-1/2} + \\ + [r^2 + R_i^2 - 2rR_i \cos \alpha + (z + Z_i)^2]^{-1/2} \} d\alpha | R_j, Z_j \quad (i \neq j) \quad (2.2)$$

$$s_j(r, z, t) | R_j, Z_j = 2\pi \left( \frac{2\alpha_j}{\sigma_j} \right)^{1/2} - \frac{2}{R_j} \ln \left| \text{tg } \frac{\alpha_j}{8} \right| + \int_0^{2\pi} [2R_j^2(1 - \cos \alpha) + (2Z_j)^2]^{-1/2} d\alpha \quad (2.3)$$

причем выражение (2.3) будет приближенным значением потенциала кольца  $S_j$  с единичной плотностью. Это приближение строится следующим образом: кольцо  $S_j$  с помощью центрального угла  $0 < \alpha_j < 2\pi$  (фиг. 2) разбивается на две части, и потенциал той части кольца, которая опирается на угол  $\alpha_j$ , заменяется потенциалом круга радиуса  $\rho_j$  с центром в точке  $(R_j, Z_j)$ ; касающегося поверхности  $S_j$  в этой точке; потенциал же оставшейся части кольца заменяется потенциалом дуги окружности радиуса  $R_j$  с центральным углом  $2\pi - \alpha_j$ , лежащей на кольце. Радиус  $\rho_j$  круга определяется из требования, чтобы его площадь была в  $2\pi/\alpha_j$  раз меньше площади  $\sigma_j$  кольца, откуда

$$\rho_j = (\alpha_j \sigma_j / 2\pi^2)^{1/2}$$

Выражение (2.3) получается предельным переходом из выражения для потенциала выбранной таким образом системы круга и дуги окружности при стремлении произвольной точки  $(r, z)$  к точке  $(R_j, Z_j)$ , лежащей на поверхности  $S_j$ .

Имея в виду, что точное решение для потенциала кольца не зависит от угла  $\alpha_j$ , который вводится только для получения приближенного решения, потребуем, чтобы производная по  $\alpha_j$  от выражения (2.3) равнялась нулю. Это приводит к уравнению

$$\sqrt{\alpha_j} - 2\pi R_j \sqrt{\frac{2j}{\sigma_j}} \sin \frac{\alpha_j}{4} = 0 \quad (2.4)$$

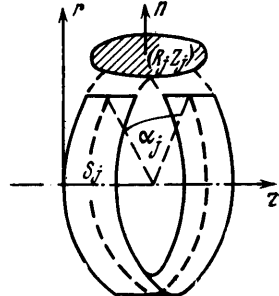
которое имеет единственный корень  $0 < \alpha_j < 2\pi$ , если выполнено соотношение

$$\sigma_j < 4\pi R_j^2 \quad (2.5)$$

Таким образом, из уравнения (2.4) при условии (2.3) угол  $\alpha_j$  однозначно определяется как функция координат  $R_j$  и  $Z_j$ . Вводя следующие обозначения:

$$q_i = Q_i R_i, \quad a_i^2 = r^2 + R_i^2 + (z - Z_i)^2, \quad a_i^{*2} = r^2 + R_i^2 + (z + Z_i)^2$$

$$k_i = \frac{2rR_i}{a_i^2}, \quad k_i^* = \frac{2rR_i}{a_i^{*2}}, \quad f_1(k) = \int_0^\pi (1 - k \cos \alpha)^{-1/2} d\alpha$$



Фиг. 2

имеем

$$s_i(r, z, t) |_{R_j, Z_j} = 2 \left[ \frac{f_1(k_i)}{a_i} + \frac{f_1(k_i^*)}{a_i^*} \right] |_{R_j, Z_j} \quad (i \neq j)$$

$$s_j(r, z, t) |_{R_j, Z_j} = 2 \left[ \pi \left( \frac{2\alpha_j}{\sigma_j} \right)^{1/2} - \frac{1}{R_j} \ln \left| \operatorname{tg} \frac{\alpha_j}{8} \right| + \frac{f_1(k_j^*)}{a_j^*} \right]$$

и

$$u(r, z, t) |_{R_j, Z_j} = - \sum_{i=0}^N q_i(t) s_i(r, z, t) |_{R_j, Z_j} \quad (2.6)$$

$$(j = 0, 1, \dots, N)$$

Аналогично для производных потенциала  $u(r, z, t)$  по пространственным переменным  $r$  и  $z$  получаем следующие выражения:

$$\frac{\partial u}{\partial r} \Big|_{R_j, Z_j} = - \sum_{i=0}^N q_i \frac{\partial s_i}{\partial r} \Big|_{R_j, Z_j} \quad (2.7)$$

$$\frac{\partial u}{\partial z} \Big|_{R_j, Z_j} = - \sum_{i=0}^N q_i \frac{\partial s_i}{\partial z} \Big|_{R_j, Z_j} \quad (2.8)$$

$$(j = 0, 1, \dots, N)$$

где

$$\frac{\partial s_i}{\partial r} \Big|_{R_j, Z_j} = -2 \left[ \frac{r f_2(k_i) - R_i f_3(k_i)}{a_i^3} + \frac{r f_2(k_i^*) - R_i f_3(k_i^*)}{a_i^{*3}} \right] \Big|_{R_j, Z_j} \quad (i \neq j)$$

$$\frac{\partial s_j}{\partial r} \Big|_{R_j, Z_j} = -4\pi^2 \frac{1}{\sigma_j} \cos \theta_j + \frac{1}{R_j^2} \ln \left| \operatorname{tg} \frac{\alpha_j}{8} \right| - 2 \frac{R_i [f_2(k_i^*) - f_3(k_i^*)]}{a_i^{*3}}$$

$$\frac{\partial s_i}{\partial z} \Big|_{R_j, Z_j} = -2 \left[ \frac{(z - Z_i) f_2(k_i)}{a_i^3} + \frac{(z + Z_i) f_2(k_i^*)}{a_i^{*3}} \right] \Big|_{R_j, Z_j} \quad (i \neq j)$$

$$\frac{\partial s_j}{\partial z} \Big|_{R_j, Z_j} = 4\pi^2 \frac{1}{\sigma_j} \sin \theta_j - \frac{4z_j f_2(k_j^*)}{a_j^{*3}}$$

$$f_2(k) = \int_0^\pi (1 - k \cos \alpha)^{-3/2} d\alpha, \quad f_3(k) = \int_0^\pi \cos \alpha (1 - k \cos \alpha)^{-3/2} d\alpha$$

Здесь  $\theta_j$  — угол между осью  $z$  и касательной в точке  $(R_j, Z_j)$  к меридиональному сечению поверхности  $S$  и  $\Sigma$ , лежащей в плоскости сечения.

Выполнение граничного условия (1.2) на поверхности  $\Sigma$  равносильно выполнению условия

$$\sum_{i=0}^N q_i (s_{rij} c_{rj} + s_{zij} c_{zj}) = 0 \quad (j = M + 1, \dots, N) \quad (2.9)$$

в точках  $(R_j, Z_j)$ , где  $c_{rj} = \cos(n, r)$ ,  $c_{zj} = \cos(n, z)$  — направляющие косинусы внешней нормали к поверхности  $\Sigma$  в точке  $(R_j, Z_j)$ ;  $s_{rij}$ ,  $s_{zij}$  — значения функций  $\partial s_i / \partial r$ ,  $\partial s_i / \partial z$  в этой же точке. Обозначая функцию  $u(r, z, t)$  в точке  $(R_j, Z_j)$  через  $u_j(t)$ , имеем

$$u_j(t) = - \sum_{i=0}^N q_i(t) s_{ij}(t) \quad (j = 0, 1, \dots, M) \quad (2.10)$$

Значения  $q_i(t)$  ( $i = 0, 1, \dots, N$ ) определяются из условий (2.9), (2.10).

Учитывая условие потенциальности течения (1.4), граничное условие (1.3), а также (2.10), и переходя к безразмерным величинам

$$\Psi = \frac{u}{v_0 L}, \quad \eta = \frac{r}{L}, \quad \zeta = \frac{z}{L}, \quad \tau = \frac{t v_0}{L}, \quad \mu = \frac{q}{v_0 L^2}$$

имеем следующую систему обыкновенных дифференциальных уравнений:

$$\begin{aligned} \frac{d\eta_j(\tau)}{d\tau} &= -a_j(\tau) \sum_{i=0}^N \mu_i(\tau) s_{\eta ij}(\tau) \quad (j=0, 1, \dots, M+1) \\ \frac{d\zeta_j(\tau)}{d\tau} &= -b_j(\tau) \sum_{i=0}^N \mu_i(\tau) s_{\zeta ij}(\tau) \quad (j=0, 1, \dots, M+1) \end{aligned} \quad (2.11)$$

$$\frac{d\varphi_j(\tau)}{d\tau} = -\frac{\Delta p(\tau)}{\Delta p(0)} + \frac{1}{2} \left[ \left( \frac{d\eta_j}{d\tau} \right)^2 + \left( \frac{d\zeta_j}{d\tau} \right)^2 \right] + \lambda \zeta_j \quad (j=0, 1, \dots, M)$$

Здесь

$$a_j(\tau) = \begin{cases} 1 & \text{при } j=0, 1, \dots, M \\ -c_{\zeta j} & \text{при } j=M+1 \end{cases} \quad b_j(\tau) = \begin{cases} 1 & \text{при } j=0, 1, \dots, M \\ c_{\eta j} & \text{при } j=M+1 \end{cases}$$

$$s_{\eta ij} = \left. \frac{\partial s_i}{\partial \eta} \right|_{\eta_j, \zeta_j}, \quad s_{\zeta ij} = \left. \frac{\partial s_i}{\partial \zeta} \right|_{\eta_j, \zeta_j}$$

$$\Delta p(\tau) = p(\tau) - p_\infty, \quad \lambda = \frac{2gL}{v_0^2}, \quad v_0 = \left( \frac{\Delta p(0)}{\rho} \right)^{1/2}$$

$L$  — характерный линейный размер.

Предполагается, что для  $j = M+2, \dots, N$  кольцевые источники на поверхности  $\Sigma$  расположены произвольно, лишь бы выполнялось условие (2.9). В данной работе значения величин  $\eta_j(\tau), \zeta_j(\tau)$  для случая, когда поверхность  $\Sigma$  будет трубой длиной  $l \neq 0$ , вычисляются из соотношений

$$\begin{aligned} \eta_j &= \eta_{M+1} + 2^{j-(M+2)} h_1 \\ \zeta_j &= \zeta_{M+1} + 2^{j-(M+2)} h_2 \quad (j = M+1, \dots, N) \\ h_1 &= \frac{\eta_N - \eta_{M+1}}{20l}, \quad h_2 = \frac{\zeta_N - \zeta_{M+1}}{20l} \end{aligned}$$

Интегрирование системы (2.11) позволяет приближенно определить поверхность  $S(\tau)$ , а следовательно, и потенциал  $\varphi(\eta, \zeta, \tau)$ .

3. Система (2.11) обыкновенных дифференциальных уравнений интегрировалась численным методом Рунге — Кутты на ЭВМ М-20 с постоянным шагом  $h$  по безразмерному времени  $\tau$ , причем предполагалось, что  $\varphi_j(0) = 0$  ( $j = 0, 1, \dots, M$ ) и  $g = 0$ . Начальные значения координат свободной поверхности задавались на плоскости среза трубы  $z = l$ . Рассматривался случай инерционного расширения пузыря под действием начального импульса избыточного давления, когда

$$\Delta p(\tau) = \begin{cases} \Delta p(0) & \text{при } \tau \leq h \\ 0 & \text{при } \tau > h \end{cases}$$

Здесь  $h = 0.1, \Delta p(0) = 1.02 \cdot 10^4, M = 8, N = 17, c_{\zeta j} = 0, c_{\eta j} = 1$  ( $j = M+1, \dots, N$ ),  $l = 2R$  ( $l, R$  — длина и радиус трубы соответственно). На фиг. 3 приведена полученная в результате численных расчетов картина изменения поверхности пузыря в процессе инерционного расширения.

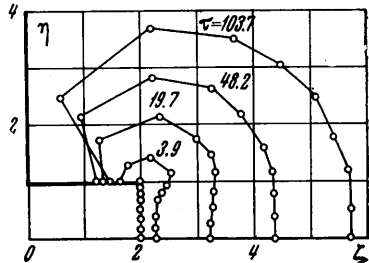
Для сравнения получаемого численного решения с известными точными решениями была рассмотрена задача о расширении сферического газового пузыря в безграничной жидкости. Рассматривались случаи расширения пузыря при постоянном избыточном давлении, инерционного расширения, а также гармонических колебаний пузыря при адиабатическом законе изменения давления. Во всех этих случаях максимальная относительная погрешность вычисления координат свободной поверхности при  $M = N = 6, h \geq 0.02$  не превысила 3%.

Авторы благодарны Р. Л. Крепс за постоянное внимание к работе.

Поступило 7 X 1968

ЛИТЕРАТУРА

1. Тихонов А. Н., Самарский А. А. Уравнения математической физики. М., Гостехиздат, 1953.
2. Гуревич М. И. Теория струй идеальной жидкости. М., Физматгиз, 1961.



Фиг. 3